

$\text{C}-\text{C}$ , как легко подсчитать, определяется величиной  $\Delta_{\text{C}-\text{C}}=0,980$ . Следовательно, если исходным реагирующим соединением является  $\text{CH}_4$ , то углерод в конечной форме, т. е. присоединенный углерод кристаллической решетки должен обедняться приблизительно на 2% изотопом  $\text{C}^{13}$ , что по порядку величины совпадает с наблюдаемыми изотопными эффектами на графите. Если для случая с графитом это могло бы служить удовлетворительным объяснением, то возникает вопрос, почему углерод алмаза не только не обогащался легким изотопом, но, напротив, существенно обеднялся им.

Совершенно очевидно, что рассмотрение изотопного фракционирования в данном случае только как следствия необратимого образования  $\text{C}-\text{C}$ -связей в процессе наращивания оказывается неадекватным.

Рассмотрим следующую модель (рис. 1). Пусть на поверхности кристалла имеется адсорбированный слой, часть молекул которого слабо связана с поверхностью, что соответствует молекулярному или ван-дер-ваальсовскому типу адсорбции (слой  $b$ ), другая

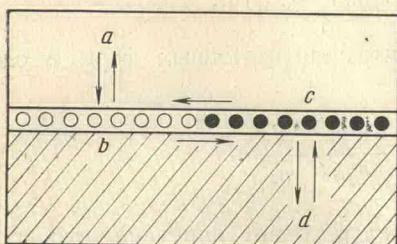


Рис. 1

Рис. 1. Обсуждаемая модель гетерогенного фракционирования изотопов  
Рис. 2. Расчетная кривая зависимости величины гетерогенного изотопного эффекта от коэффициента  $f$  для принятой модели. Пунктиром показаны линии, отвечающие экспериментально наблюдавшимся изотопным эффектам при синтезе алмаза и графита

часть образует с поверхностью прочные  $\text{C}-\text{C}$ -связи, что отвечает представлению о химической или активированной адсорбции (слой  $c$ ).

Примем, что процесс наращивания на подложке протекает через последованные стадии: перехода молекул из газовой фазы в молекулярно адсорбированное состояние ( $a$  —  $b$ -переход), далее в химически связанное состояние ( $b$  —  $c$ -переход) и, наконец, присоединение атома углерода к кристаллической решетке ( $c$  —  $d$ -переход).

Посмотрим какого типа изотопное фракционирование может встретиться на каждой из этих стадий. В процессе ван-дер-ваальсовой адсорбции, как это следует из теоретических и имеющихся экспериментальных данных, изотопный эффект отсутствует, или по крайней мере очень мал. Если обозначить изотопный состав молекул в газовой фазе (т. е. изотопный состав исходного метана)  $R_a$ , а в молекулярно-адсорбированном слое —  $R_b$ , то  $R_a=R_b$ .

Процесс активированного перехода  $b$  —  $c$ , сопровождающийся образованием  $\text{C}-\text{C}$ -связи, характеризуется, как указывалось выше, существенным кинетическим изотопным эффектом, т. е.  $R_b \neq R_c$ , где  $R_c$  — изотопный состав хемосорбированных молекул.

Наконец, при переходе углерода из хемосорбированного слоя в решетку ( $c$  —  $d$ -переход) происходит потеря водородных атомов, т. е. разрыв связей  $\text{C}-\text{H}$ , что также порождает кинетический изотопный эффект, но

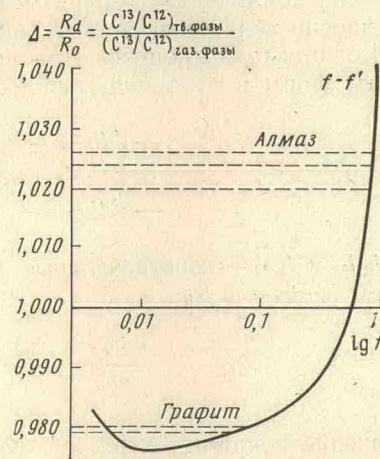


Рис. 2

значительно меньшей величины, чем для случая С—С-связи. Пользуясь приведенной выше формулой (1), можно показать, что изотопный эффект в этом случае характеризуется величиной  $\Delta_{\text{C-H}} = k_{\text{C}^{13}-\text{H}}/k_{\text{C}^{12}-\text{H}} = 0,9983$ , т. е. на порядок меньше, чем  $\Delta_{\text{C-C}}$ . Полагая, что переход  $c \rightarrow d$  необратим, можем записать  $R_d = \Delta_{\text{C-H}} R_c$ , где  $R_d$  — изотопный состав углерода, присоединенного к решетке.

Наблюдаемый в эксперименте изотопный эффект между газовой фазой ( $R_a$ ) и наращенной частью кристаллической фазы ( $R_d$ ) должен, следовательно, определяться главным образом характером изотопного фракционирования в процессе  $b \rightarrow c$ -перехода.

Представим дело таким образом, что лишь некоторая часть  $f$  молекул слоя  $b$  переходит в активированный слой  $c$ . Одновременно протекает обратный процесс ( $c \rightarrow b$ -переход), при котором часть  $f'$  хемосорбированных частиц теряет валентную связь с поверхностью.

Для прямого процесса можно записать кинетические уравнения изотопных форм в следующем виде:

$$\begin{aligned} -d(b_{\text{C}^{13}} - x_{13}) &= k_{13}(b_{\text{C}^{13}} - x_{13}) dt, \\ -d(b_{\text{C}^{12}} - x_{12}) &= k_{12}(b_{\text{C}^{12}} - x_{12}) dt, \end{aligned} \quad (2)$$

где  $b_{\text{C}^{12}}$  и  $b_{\text{C}^{13}}$  — первоначальные концентрации изотопных форм в слое  $b$ , причем  $b_{\text{C}^{13}}/b_{\text{C}^{12}} = R_b$

$$\frac{d(b_{\text{C}^{13}} - x_{13})}{b_{\text{C}^{13}} - x_{13}} = \frac{k_{13}}{k_{12}} \frac{d(b_{\text{C}^{12}} - x_{12})}{b_{\text{C}^{12}} - x_{12}}. \quad (3)$$

Отношение констант скоростей определяет величину кинетического изотопного эффекта в процессе  $b \rightarrow c$ -перехода, который, как указывалось, равен  $\Delta_{\text{C-C}} = 0,980$ . Обозначим через  $b_0$  — общую начальную концентрацию молекул в слое  $b$ , т. е.  $b_0 = b_{\text{C}^{12}} + b_{\text{C}^{13}}$ , и проинтегрируем последнее уравнение в пределах от  $b_0$  до величины  $b_0(1-f)$ , которая характеризует часть молекул, не переходящую в хемосорбированное состояние.

В результате интегрирования и последующих преобразований, придем к выражению

$$\frac{1}{\Delta_{\text{C-C}}} = \frac{\ln(1-f)}{\ln(1-f') \frac{R'}{R_b}}, \quad (4)$$

где  $R'$  — изотопный состав оставшейся части молекулярно-адсорбированного слоя. Если обозначить через  $R_x$  — изотопный состав новообразованного слоя, то из очевидных соображений изотопного баланса имеет место соотношение

$$R_b = R'(1-f) + R_x f. \quad (5)$$

Аналогичным образом для обратного процесса ( $c \rightarrow b$ -перехода)

$$\frac{1}{\Delta_{\text{C-C}}} = \frac{\ln(1-f')}{\ln(1-f') \frac{R_c}{R_x}}, \quad (6)$$

где  $R_c$  — изотопный состав оставшейся после завершения акта обмена части молекул слоя  $c$  (которые затем присоединяются к кристаллической решетке). Кинетические изотопные эффекты образования и разрыва С—С-связей равны (т. е. равны  $\Delta_{\text{C-C}}$  в процессах  $b \rightarrow c$ - и  $c \rightarrow b$ -перехода).